

**СТАНДАРТ ОТРАСЛИ**

**Машины путевые**

**оси колесных пар**

**Методика расчета на прочность**

## Предисловие

1 РАЗРАБОТАН Научно-исследовательским институтом тепловозов и путевых машин (ВНИТИ)

ВНЕСЕН Департаментом пути и сооружений Министерства путей сообщения Российской Федерации.

2 УТВЕРЖДЕН И ВВЕДЕН В ДЕЙСТВИЕ Указанием МПС Российской Федерации № от

3 ВЗАМЕН РД 24.040.64-84

Настоящий стандарт не может быть полностью или частично воспроизведен, тиражирован и распространен в качестве официального издания без разрешения МПС Российской Федерации

## Содержание

1 Область применения.....	1
2 Нормативные ссылки.....	1
3 Общие положения.....	1
4 Расчетные режимы .....	2
5 Расчетные параметры.....	3
6 Пределы выносливости оси в расчетных сечениях.....	14
6.1 Пределы выносливости натурных образцов.....	14
6.2 Пределы выносливости при отсутствии результатов испытаний натурных образцов осей.....	
7 Определение расчетных нагрузок.....	21
7.1 Силы, оказывавшие основное влияние на прочность.....	21
7.2 Силы, имеющие одинаковое выражение для всех расчетных схем.....	22
7.3 Силы, аналитическое выражение которых зависит от расчетной схемы.....	22
8 Расчет оси колесной пары при проектировании.. ..	27
8.1 Расчетный изгибающий момент в сечениях.....	27
8.2 Допускаемые коэффициенты запаса сопротивления усталости.....	27
8.3 Определение диаметра оси вновь проектируемой путевой машины.....	28
9 Проверочный (уточненный) расчет оси .....	28
9.1 Коэффициенты запаса сопротивления усталости в различных сечениях оси.....	28
9.2 Меры по снижению концентрации давления.....	29
9.3 Оценка вероятности разрушения.....	29
Приложение А Режимы накатки опытных осей колесных пар.....	32
Приложение Б Гистограмма амплитуд напряжений в средней части оси колесной пары машины ПМГ-001 при движении на прямом участке пути со скоростью 86 км/ч..	33
Приложение В Пример поверочного расчета оси колесной пары в транспортном и рабочем режимах при применении в приводе тягового электродвигателя.....	34
Приложение Г Библиография.....	42

# СТАНДАРТ ОТРАСЛИ

## Машины путевые ОСИ КОЛЕСНЫХ ПАР Методика расчета на прочность .

Дата введения 1997-09-01

### 1 Область применения

Настоящий стандарт устанавливает методику расчета на прочность осей колесных пар путевых машин на стадиях проектирования, доводки и контроля при эксплуатации.

Стандарт распространяется на приводные и поддерживающие оси колесных пар путевых машин различного назначения на железнодорожном ходу.

В настоящем стандарте не рассматриваются перегрузочные режимы нагружения осей колесных пар путевых машин при выполнении рабочих операций без движения.

Стандарт является обязательным для организаций и предприятий Министерства путей сообщения Российской Федерации.

### 2 Нормативные ссылки

В настоящем стандарте использованы ссылки на следующие стандарты:

ГОСТ 25.507-85 Расчеты и испытания на прочность в машиностроении. Методы испытаний на усталость при эксплуатационных режимах нагружения. Общие требования

ГОСТ 3281-93 Оси локомотивные железных дорог широкой колеи.

Технические условия

ГОСТ 4228-89 Заготовки осевые для подвижного состава железных дорог колеи 1520 мм. Технические условия

### 3 Общие положения

Оси колесных пар относят к наиболее ответственным узлам экипажной части, воспринимающим динамические усилия взаимодействия между колесной парой и рельсами, определяющим безопасность движения на железных дорогах МПС.

Расчет оси колесной пары производят на усталостную прочность от деформаций изгиба в вертикальной плоскости. Влияние на прочность изгиба оси в горизонтальной плоскости, продольного сжатия, перерезывающих сил, кручения незначительно и в стандарте не рассматриваются.

Стандарт содержит формулы для определения расчетных нагрузок, геометрических размеров, напряженного состояния, запасов прочности сопротивления усталости, пределов выносливости натурных осей. Стандарт позволяет выполнить следующие виды расчетных исследований:

- проектный расчет оси колесной пары при создании новой путевой машины;
- поверочный расчет после проведения исследовательских динамико-прочностных испытаний опытного образца;
- исследовательский расчет оси, получившей повреждение, с анализом условий эксплуатации.

В стандарте нормированы:

- расчетные режимы;
- минимальные значения пределов выносливости в расчетных сечениях;
- минимально допустимые коэффициенты сопротивления усталости.

#### 4 Расчетные режимы

4.1 Расчетными являются режимы передвижения путевой машины в составе поезда или самоходом с конструкционной или максимально разрешенной скоростью, определяющие пробег за срок службы путевой машины, характеризующиеся возникновением наибольших переменных напряжений в оси, нагрузок и ускорений, принимаемых в расчетах настоящего стандарта.

4.2 Транспортный режим – режим движения путевой машины с конструкционной или максимальной разрешенной скоростью по участкам магистральных путей МПС. Осуществляют локомотивом в составе поезда или самоходом. Ориентировочный пробег машины за срок службы – 80 тыс.км.

4.3 Режим движения путевой машины с локомотивом или самоходом от места базирования к месту выполнения рабочих операций и обратно. Ориентировочный пробег машины в этом режиме за срок службы – 500 тыс. км.

4.4 Рабочие режимы – режимы движения путевой машины с локомотивом или самоходом по ремонтируемым или вновь укладываемым путям в процессе выполнения рабочих операций. Ориентировочный пробег машины

в этом режиме за срок службы около 3 тыс.км.

4.5 Число циклов нагружения в каждом из режимов определяют по формуле

$$\bar{n} = \frac{S \cdot 10^6 i}{\pi \cdot D} \sum \alpha^i, \quad (1)$$

где  $S$  – пробег машины в соответствующем режиме, тыс.км;

$D$  – номинальный диаметр ходового колеса по кругу катания, м;

$\alpha^i$  – относительная протяженность соответствующего элемента профиля пути за срок службы оси колесной пары.

$i$  – количество элементов продольного профиля пути, учитываемых в расчете (кривые участки радиусов  $R$ , прямые, стрелочные переводы).

4.6 При расчете и оценке прочности оси конкретной путевой машины необходимо учитывать нагруженность оси во всех характерных для этой машины режимах работы, в том числе не указанных в настоящем стандарте или действующих кратковременно. Такие расчеты необходимо производить по соответствующим методикам.

## 5 Расчетные параметры

Значения параметров и коэффициентов, их обозначения, наименования, формулы для расчета оси, единицы измерения, необходимые для расчета оси путевой машины указаны в таблице 1.

Таблица 1

Обоз- начение	Еди- ница изме- рения	Наименование, расчетная формула
$Q$	Н	Статическая нагрузка от колесной пары на рельсы Принимают при полной служебной экипировке или загрузке путевой машины для наиболее нагруженной тележки с учетом плюсовых допусков на отклонение этой нагрузки:
$Q_t$	Н	в транспортном прицепном режиме;
$Q_c$	Н	в транспортном самоходном режиме;
$Q_{pc}$	Н	в рабочем самоходном режиме;
$Q_{pp}$	Н	в рабочем прицепном режиме

Обозначение	Единица измерения	Наименование, расчетная формула
U	м/с	Скорость передвижения:
Утр.	м/с	скорость транспортная в составе поезда;
Утр.с	м/с	скорость транспортная самоходом:
Ур	м/с	скорость рабочая
F <sub>pc,c</sub>	Н	Сила тяги путевой машины соответственно в рабочем и в транспортном режиме
F <sub>pc,c</sub>	Н	Сила тяги при движении самоходом соответственно в рабочем и в транспортном режиме, приходящаяся на одну ось $F_{pc,c} = \frac{F}{z}$
Z	-	Число движущих осей
D	м	Диаметр колеса
k <sub>h</sub>	-	Коэффициент рамного давления Равен отношению рамного давления (Ур) к номинальной статической нагрузке от колеса на рельс (Q/2) $k_h = \frac{29p}{q}$
		Принимают: - в режимах движения со скоростями выше 11 м/с (40 км/ч) - от 0,3 до 0,4; - в режимах движения со скоростями менее 11 м/с (40 км/ч) - от 0,2 до 0,25
k <sub>v</sub>	-	Коэффициент вертикальной динамики. Равен отношению дополнительной вертикальной нагрузки на буксую, возникающей при колебаниях надрессорного строения (с учетом сил демпфирования) от прохождения неровностей пути, к статической нагрузке на буксую. Принимают: - в режимах движения со скоростями выше 11 м/с (40 км/ч) - от 0,2 до 0,4;

Продолжение таблицы 1

Обоз- наче- ние	Еди- ница изме- рения	Наименование, расчетная формула
$\delta$	-	<p>- в режимах движения со скоростями менее 11 м/с (40 км/ч) – до 0,25</p> <p>Коэффициент вертикальной амортизации. Равен отношении веса подпрессоренных частей, приходящихся на буксу, к статической нагрузке от колеса на рельс</p> $\delta = \frac{2Ps}{Q} \quad (4)$
$\eta$	-	<p>Принимают по данным конструкции проектируемой путевой машины в пределах от 0,65 до 0,9</p> <p>Коэффициент веса буксового узла</p> <p>Равен отношению веса буксы и жестко связанных с ней частей (<math>P_0</math>) к весу подпрессоренных частей, приходящимся на буксу</p> $\eta = \frac{2P_0}{\delta \cdot Q} \quad (5)$
$j_h$	-	<p>Учитывает вес корпуса буксы, подшипников, буксовой межки и деталей подвешивания (балансиры, частично рессоры и пружины, опирающиеся на буксы).</p> <p>Коэффициент поперечного горизонтального ускорения колесной пары</p> <p>Равен отношению горизонтального поперечного ускорения колесной пары, возникающего при прохождении горизонтальных неровностей пути, к ускорению силы тяжести</p> <p>Определяют по формуле</p> $j_h = 0,475 + 0,744 \frac{U}{\sqrt{(1-\delta)Q}} \quad (6)$
$j_v$	-	<p>Коэффициент вертикального ускорения буксы</p> <p>Равен отношению вертикального ускорения буксы, возникающего при прохождении колесной парой вертикальных неровностей пути, к ускорению силы тяжести</p> <p>Определяют по формуле</p> $j_v = 5,45 + 13,53 \frac{U}{\sqrt{(1-\delta)Q}} \quad (7)$
$j_T$	-	<p>Коэффициент вертикального ускорения рамы с тяговым электродвигателем, тягового электродвигателя или осевого редуктора</p>

## Продолжение таблицы 1

Обоз- наче- ние	Еди- ница изме- рения	Наименование, расчетная формула
		Равен отношению вертикального ускорения рамы и механизма передвижения, тягового электродвигателя или осевого редуктора на месте опоры этих узлов на ось колесной пары к ускорению силы тяжести. Ускорения возникают при прохождении колесной парой вертикальных неровностей пути
Kс	-	$j_t = 0.5 \cdot j_v$ Коэффициент центробежной силы $K_c = 0.05$
Kw	-	Коэффициент ветровой нагрузки $K_w = 0.05$
f	-	Коэффициент трения колес о рельсы $f = 0.25$
$\frac{h_c}{l_1}$	-	Отношение высоты расположения центра тяжести надрессорного строения над центрами колес ( $h_c$ ) к расстоянию между серединами буксовых шеек ( $l_1$ ) Принимают по данным конструкции в пределах от 0,6 до 0,8
k	-	Поправочный коэффициент, учитывающий перегруз рессорного подвешивания от крена надрессорного строения Определяют по формуле
		$k = \frac{1}{1 - 4 \cdot \frac{h_c}{l_1} \cdot \frac{F_s}{F_b}} \quad (8)$
Fs	м	Статическая осадка рессорного подвешивания
Gкп	кг	Масса колесной пары
Po	кг	Масса буксового узла
G	кг	Масса оси колесной пары
Go	кг	Масса части оси, заключенной между плоскостями кругов катания колес

## Окончание таблицы 1

Обоз- наче- ние	Еди- ница изме- рения	Наименование, расчетная формула
$G_w$	кг	Масса колеса
$G_r$	кг	Масса осевого редуктора (без ведомой шестерни)
$G_z$	кг	Масса ведомой шестерни осевого редуктора
$J_p$	$\text{кгм}^2$	Момент инерции ротора (якоря) тягового электродвигателя относительно оси вращения $J_p \approx \frac{1}{2} \frac{G_p}{g} \cdot r_p^2 \quad (9)$
$r_z$	м	Радиус ведущей шестерни осевого редуктора
$i$	-	Передаточное число осевого редуктора Равно отношению числа оборотов ведущей шестерни тягового электродвигателя (или ведущей шестерни последней ступени осевого редуктора) к числу оборотов ведомой шестерни
$G_p$	кг	Вес ротора (якоря) тягового электродвигателя
$r_p$	м	Радиус ротора (якоря) тягового электродвигателя
$r_r$	м	Радиус инерции рамы с электродвигателем (без ротора (якоря) электродвигателя) относительно оси подвешивания двигателя к раме тележки, определяют по формуле
$J_r$	$\text{кгм}^2$	$r_r = \sqrt{\frac{J_r \cdot g}{G_r^2}} \quad (10)$ Момент инерции рамы с электродвигателем при повороте относительно оси подвешивания

Расчетные схемы осей колесных пар для различных путевых машин указаны на рисунках 1, 2, 3, 4, 5, 6.

ОСТ 32.88-97

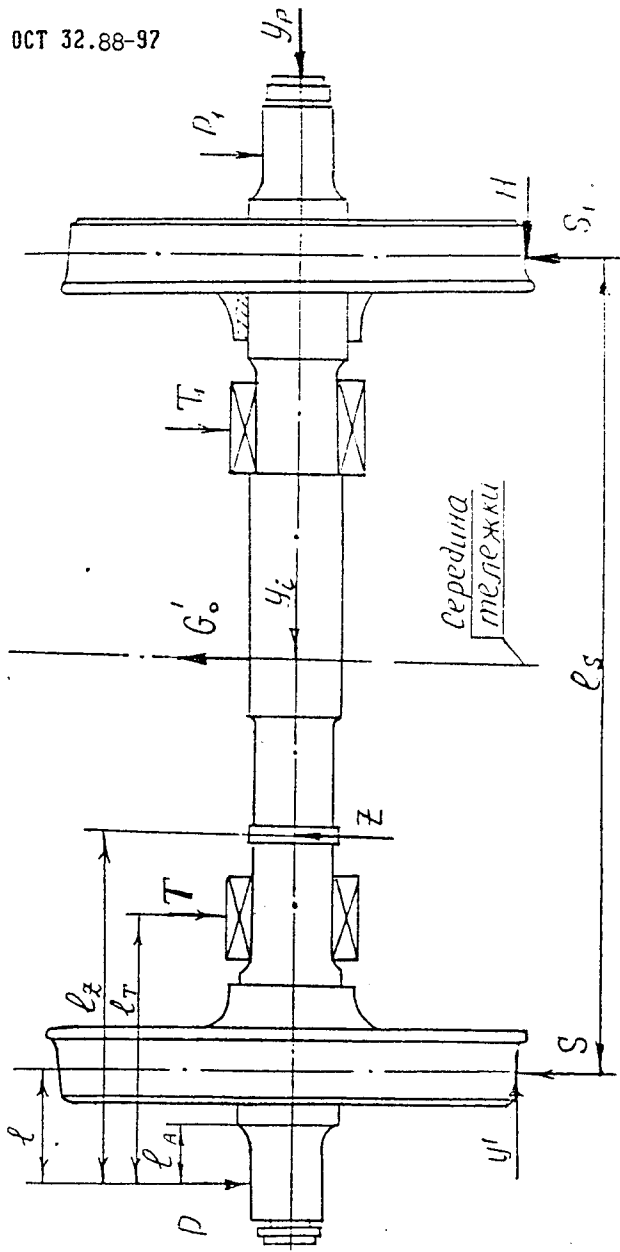


Рисунок 1 – Схема действующих нагрузок на ось колесной пары машины МЛД2, КДЭ

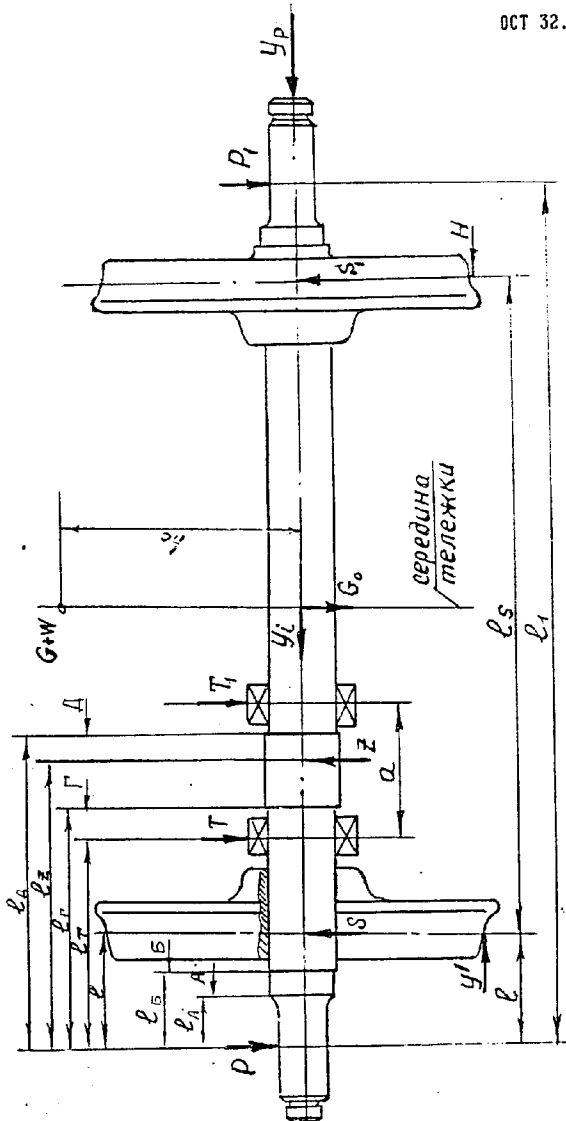
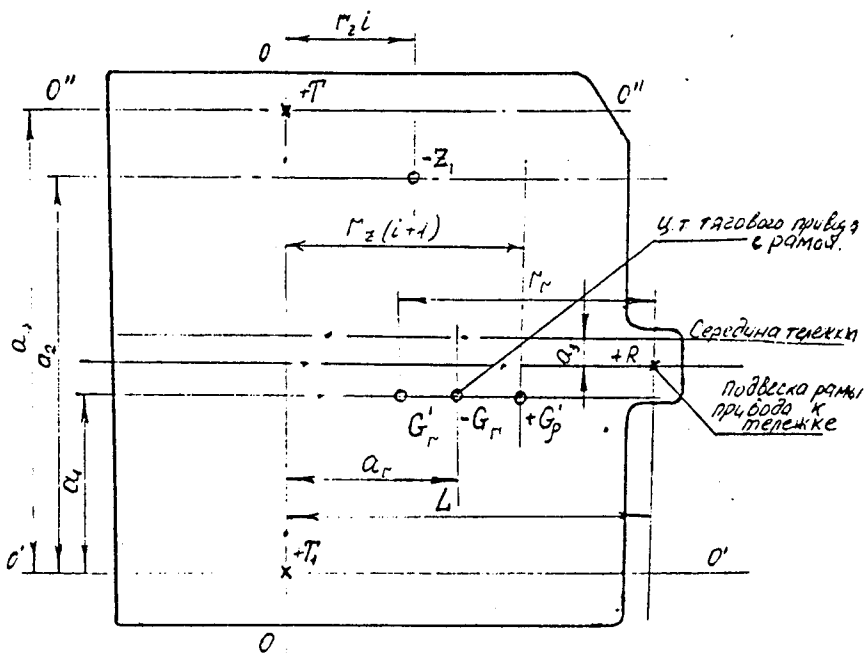


Рисунок 2 – Схема действия нагрузок на ось колесной пары и расположение расчетных сечений для машин ЧК. ПМГ



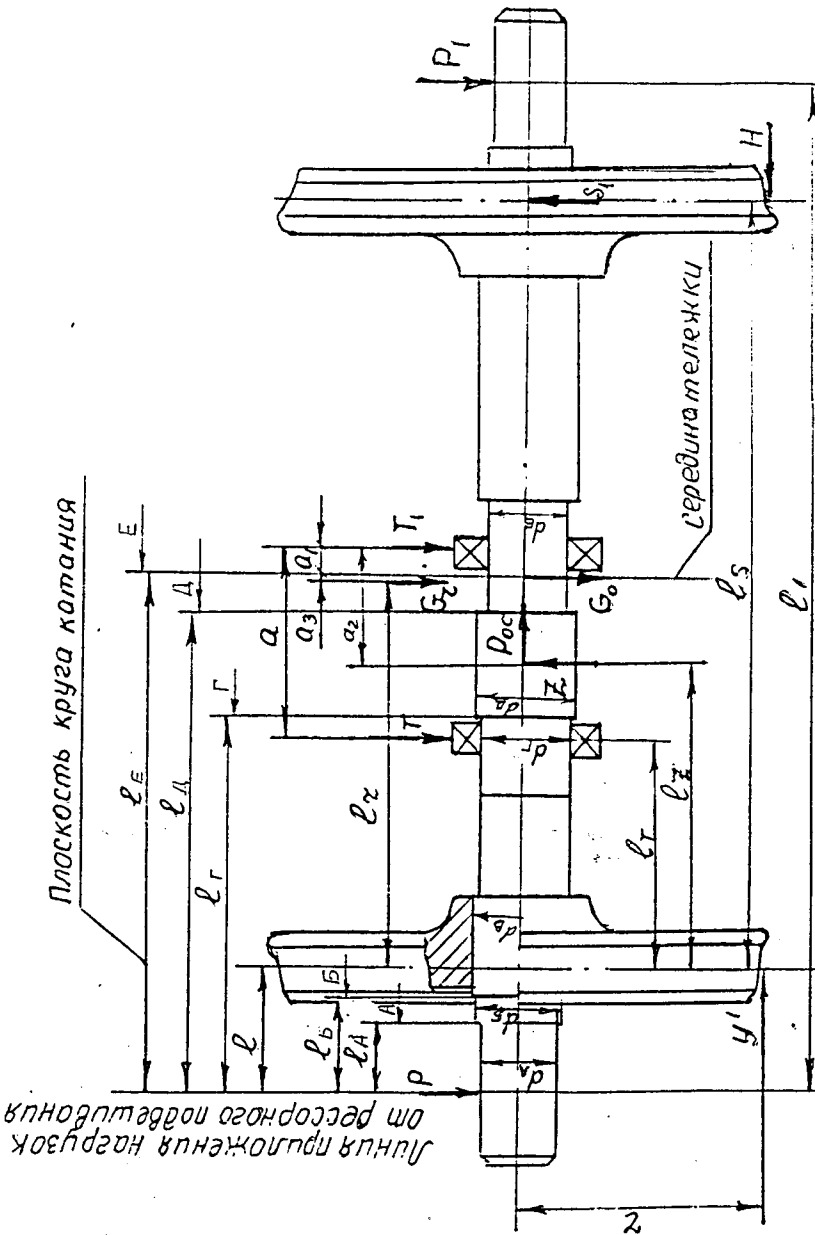
где  $Z_1 = F \cdot \frac{r}{r_2 \cdot i} + \frac{J_p j_T (i+1)g}{L \cdot r_2}$  - усилие, действующее на зуб ведущей шестерни;

$G_r' = G_r^s \cdot j_T \cdot \frac{r_r}{L}$  - сила инерции рамы привода при повороте ее вокруг точки подвешивания к раме тележки;

$G_p = G_p \cdot j_T [1 - \frac{r_2 (i+1)}{L}]$  - сила инерции ротора тягового двигателя при его поступательном перемещении

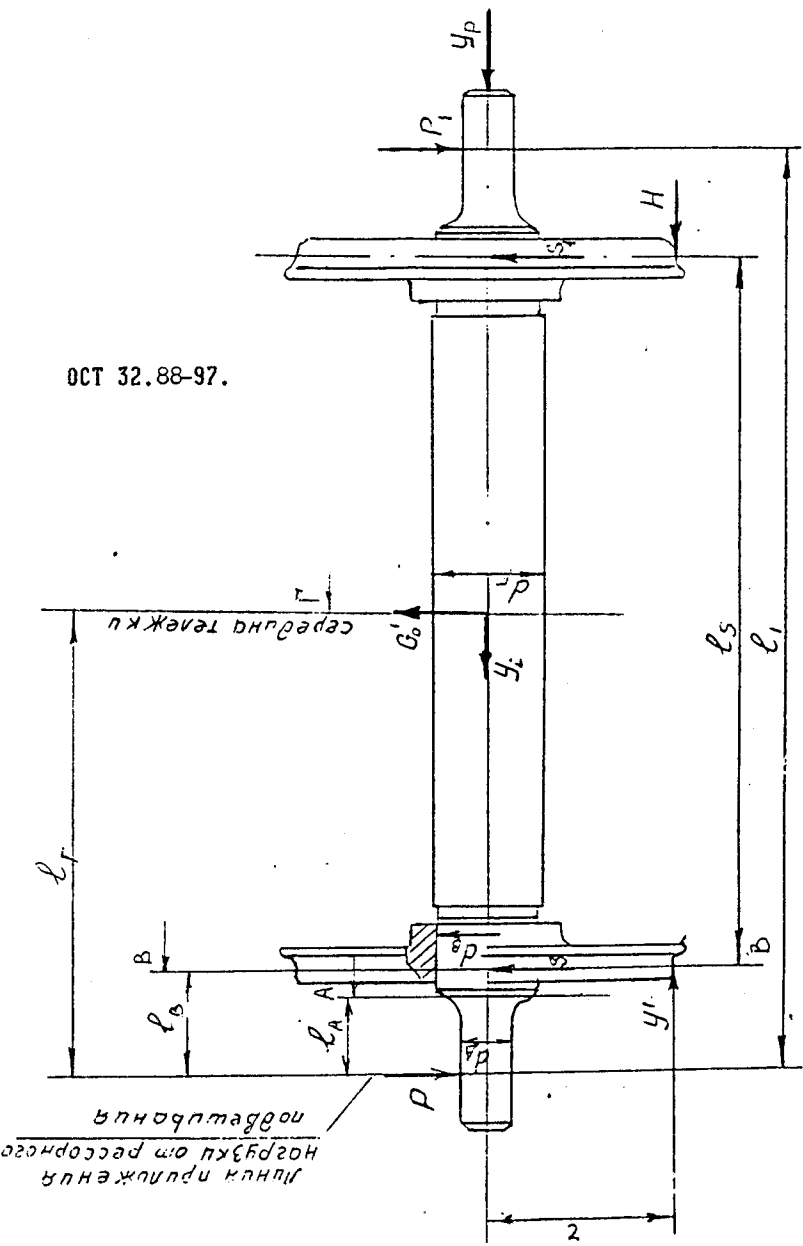
"x" и "o"- точки приложения соответственно реакций связей и действующих сил.  
"+" и "-" направление сил соответственно вверх и вниз

Рисунок 3 – Схема действия вертикальных сил на раму тягового привода



**Рисунок 4 – Схема действия нагрузок на ось колесной пары и расположение расчетных сечений машин ВПР 1200, ВПРС 500**

Рисунок 5 - Схема действия нагрузок на ось колесной пары поддерживаемой оси и расположение расчетных сечений



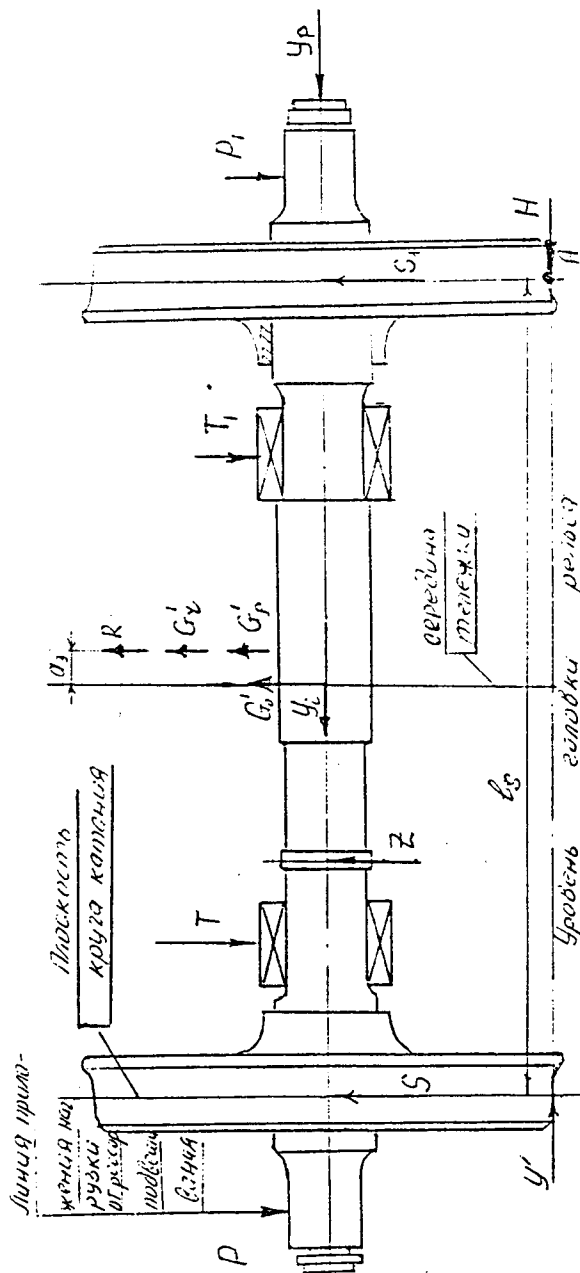


Рисунок 6 – Схема действия вертикальных сил на ось колесной пары с двигателем

## 6 Пределы выносливости оси в расчетных сечениях

### 6.1 Пределы выносливости натурных образцов

6.1.1 Оси колесных пар путевых машин изготавливают из специальной осевой стали ОСЛ по ГОСТ 4728 и ГОСТ 3281.

Пределы выносливости оси рекомендуется определять на основании испытаний на усталость полномасштабных натурных образцов, изготовленных из материала, соответствующего стандарту на осевую сталь, с обеспечением идентичности образца и действительной оси по геометрии рассматриваемой и прилегающих зон оси, упрочняющей технологии, материалу насаживаемых деталей, если таковые есть, величине натяга в соединении, способу насадки на ось.

6.1.2 Для осей, изготовленных из осевой стали по ГОСТ 4728, упрочненных накаткой роликами в соответствии с ГОСТ 3281 и по инструкции, согласованной с МПС России, пределы выносливости в некоторых расчетных сечениях должны быть не менее указанных в таблице 2. Приведенные значения получены при усталостных испытаниях осей натуральных размеров (приложение А).

Таблица 2

Часть оси, к которой относится расчетное сечение	Сечение по схеме	Значение предела выносливости, $\sigma_{-1D}$ , МПа
Буксовая шейка	А	145
Предподступичная часть	Б	145
Подступичная часть	В	140
Заподступичная часть и средняя части оси.	Г, Д, Е	160

При рациональном конструировании и применении оптимальных режимов накатывания или других способов упрочнения могут быть получены и более высокие значения пределов выносливости.

Пределы выносливости полых осей принимают такими же, как и для сплошных, если диаметр внутреннего продольного отверстия оси - не более половины наружного диаметра.

## 6.2 Пределы выносливости при отсутствии результатов испытаний натурных образцов осей

6.2.1 В случае, когда концентратором напряжения является галтель

$$(\sigma_{-1})_N = \frac{\sigma_{-1} \cdot \delta_\sigma \cdot \beta \cdot k}{1 + \xi_1 \left( \frac{k_\sigma}{\delta_\sigma} - 1 \right)} = \frac{\sigma_{-1} \cdot \delta_\sigma \cdot \beta \cdot k}{\varphi}, \quad (11)$$

где  $(\sigma_{-1})$  – предел выносливости на изгиб материала оси, полученный при испытаниях стандартного лабораторного образца. При диаметре образца, изготовленного из осевой стали по ГОСТ 4728, не более 10 мм – равен от 235 до 255 МПа;

$\delta_\sigma$  – коэффициент влияния на предел выносливости материала абсолютных размеров сечения оси (рисунок 7);

$\beta$  – коэффициент влияния на предел выносливости материала качества обработки поверхности (рисунок 8). При тонком точении и шлифовании, применяемых при окончательной обработке осей, принимают равным 0,9;

$\xi_1$  – коэффициент влияния на предел выносливости отношения сопрягаемых диаметров оси (рисунок 9);

$(k_\sigma)_0$  – эффективный коэффициент концентрации напряжений в расчетном сечении, зависящий от величины относительной галтели (рисунок 9);

$\varphi$  – суммарный эффективный коэффициент концентрации, зависящий от величины относительной галтели и отношения сопрягаемых диаметров. Определяют по nomogramme (рисунок 9);

$k$  – коэффициент влияния на предел выносливости упрочняющей технологии. При применении накатки роликами  $k$  принимают в пределах от 1,2 до 1,4 для галтельной зоны перехода.

6.2.2 При отсутствии концентрации напряжений (цилиндрическая часть оси)

$$(\sigma_{-1})_N = \sigma_{-1} \cdot \delta_\sigma \cdot \beta \cdot k, \quad (12)$$

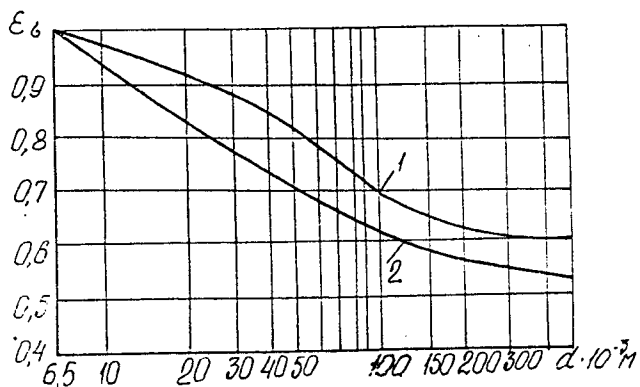
где  $k = 1,2$ .

Рекомендуется обязательное применение упрочняющей накатки роликами всей оси колесной пары, включая цилиндрические, галтельные и посадочные зоны, по оптимальным режимам.

6.2.3 В случае, когда концентратором напряжения является посадка с гарантированным натягом

$$(\sigma_{-1})_N = \frac{\sigma_{-1} \cdot k}{\left( \frac{k_\sigma}{\delta_\sigma} \right)_0 \cdot \xi_1 \cdot \xi_2}, \quad (13)$$

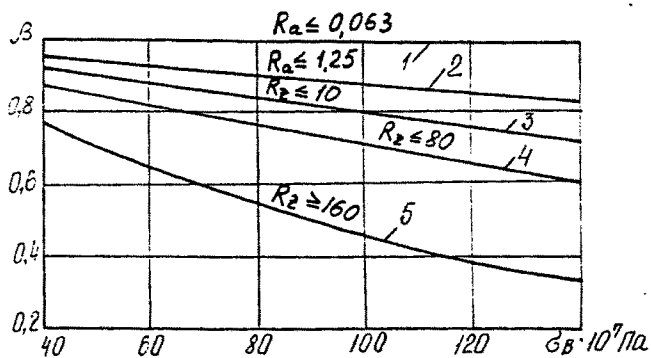
$\left( \frac{k_\sigma}{\delta_\sigma} \right)_0$  – эффективный коэффициент концентрации напряжений при из-



1 - углеродистая сталь;

2 - легированная сталь

Рисунок 7 - Коэффициенты влияния абсолютных размеров сечения  $E_6$  на усталостную прочность



- 1 - полирование;
- 2 - шлифование;
- 3 - тонкое точение;
- 4 - грубое точение;
- 5 - наличие окалины.

Рисунок 8 – Влияние состояния поверхности на предел выносливости

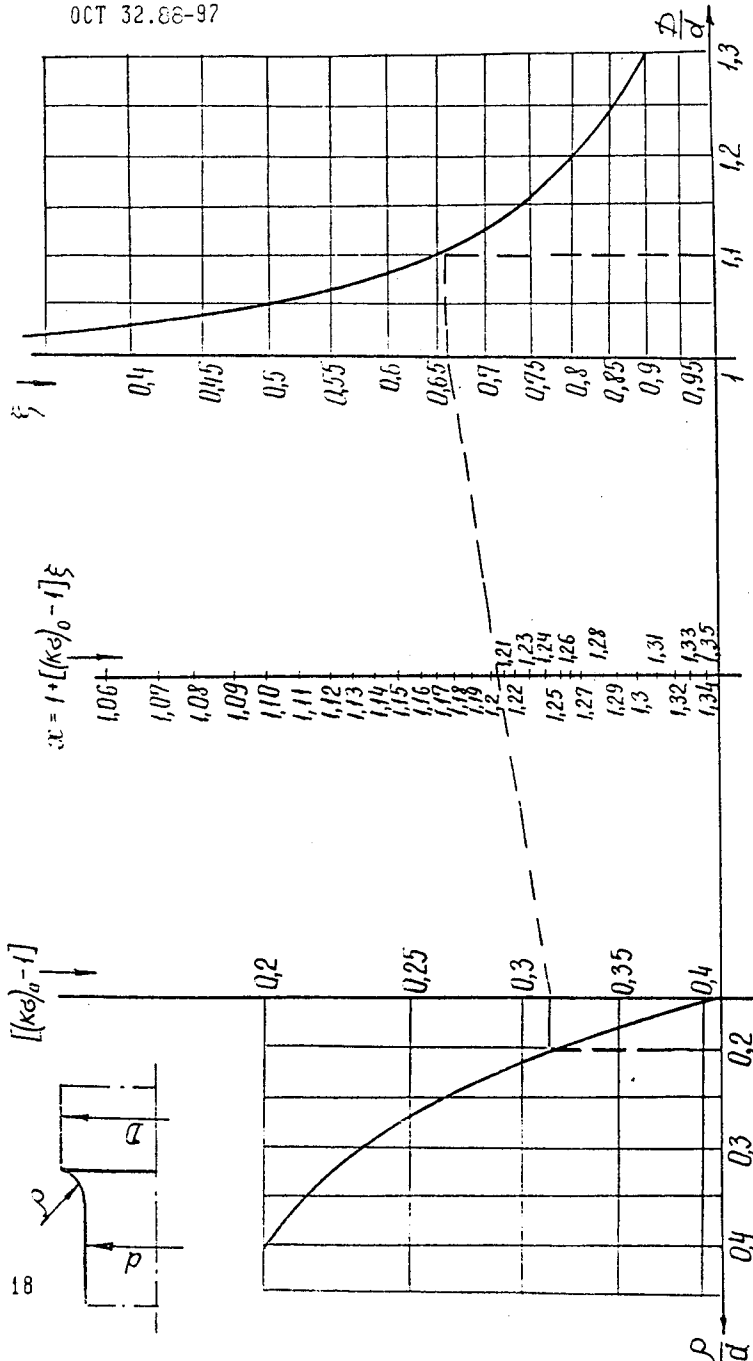
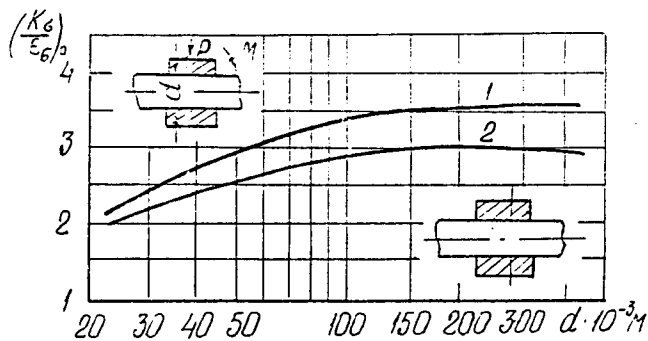


Рисунок 9 – Номограмма для определения коэффициента концентрации напряжений



$$\sigma_\sigma = 490 \cdot 10^6 \text{ Па}; \quad P = 29,4 \cdot 10^6 \text{ Па}$$

- 1 - через напрессованную деталь передается сила или момент;  
 2 - через напрессованную деталь не передается усилий

Рисунок 10 - Значение отношения коэффициентов  $\left(\frac{K_\beta}{\sigma_\sigma}\right)_o$  для валов с напрессованными деталями при изгибе

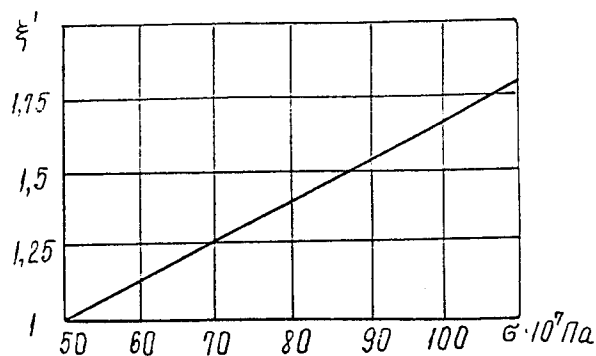


Рисунок 11 - Поправочный коэффициент  $\xi'$

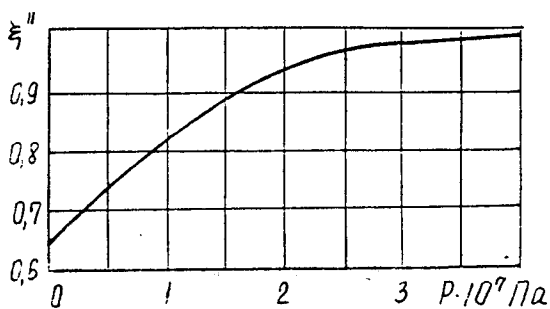


Рисунок 12 - Поправочный коэффициент  $\xi''$

гибе вследствие напрессовки для удельного давления, большего 30 10 Па (рисунок 10);

$\xi'$  – поправочный коэффициент, учитывающий действительный предел прочности материала оси (рисунок 11);

$\xi''$  – поправочный коэффициент, учитывающий величину действительного давления напрессовки (рисунок 12).

$k$  – коэффициент влияния на предел выносливости в зоне посадки упорочняющей технологии. При применении накатки роликами подступичных частей осей  $k$  принимают в пределах от 2,0 до 2,5.

6.2.4 Когда концентратором напряжений является **шпоночное соединение**

$$(b_{-1})_N = \frac{b_{-1} \xi_b \cdot k \cdot \beta}{k_b}, \quad (14)$$

где коэффициенты  $\xi_b$ ,  $\beta$  соответствуют указанным в 6.1;

$k_b$  – эффективный коэффициент концентрации напряжений в расчетном сечении, зависящий от формы и размеров шпоночного паза.  $k_b = 1,75$  при выполнении шпоночного паза пальцевой фрезой,  $k_b = 1,46$  при выполнении шпоночного паза дисковой фрезой.

Рекомендуется избегать применения шпоночных соединений в осях колесных пар путевых машин. В случае необходимости применения шпоночного соединения рекомендуется шпоночный паз выполнять после накатки оси роликами дисковой фрезой с увеличенными переходными радиусами в шпоночной канавке. Челесообразна накатка шпоночного паза, особенно угловых зон.

$k$  – коэффициент влияния на предел выносливости применения упорочняющей накатки роликами; ориентировочно, до получения надежных экспериментальных данных принимать от 1,1 до 1,2.

## 7 Определение расчетных нагрузок

### 7.1 Силы, оказывающие основное влияние на прочность

Для расчета оси колесной пары на усталостную прочность в режимах, указанных в разделе 4, определяют наиболее невыгодное сочетание одновременно и длительно действующих нагрузок. На усталостную прочность оси основное влияние оказывают силы, действующие в вертикальной плоскости.

Учитывают 4 группы сил:

- боковое давление рельса на реборду набегающего колеса;
- вертикальные статические нагрузки на буксовые шайки;
- динамические силы от колебаний надпрессорного строения и необ-

рессоренных масс:

- тяговые силы и усилия в зубчатом зацеплении.

## 7.2 Силы, имеющие одинаковое выражение для всех расчетных схем

7.2.1 Боковое давление рельса на реборду набегающего колеса в режимах 4.2 и 4.3. определяют по формуле

$$y' = y_p + y_i + H = \frac{q}{2} [k_h + 2j_h(1-\delta) + f]. \quad (15)$$

Боковое давление рельса на реборду набегающего колеса в рабочем режиме (4.4), определяют по формуле

$$y' = y_p + H = \frac{q}{2} [k_h + f]. \quad (16)$$

где  $y_p$  - рамное давление (поперечное давление рамы на колесную пару),  $H$ :

$y_i$  - поперечная сила инерции колесной пары и жестко связанных с ней частей, возникающая при прохождении горизонтальных неровностей пути,  $H$ ;

$H$  - поперечная составляющая силы трения внутреннего колеса о рельс,  $H$ .

### 7.2.2 Вертикальная нагрузка на буксовую шейку оси:

- при ускорении колесной пары, направленном вверх,

$$P = \frac{q}{2} \delta [1+k_v+mj_v + 2(k_c+k_w)k \frac{h_c}{l_1}]; \quad (17)$$

- при ускорении колесной пары, направленном вниз,

$$P' = \frac{q}{2} \delta [1+k_v-mj_v + 2(k_c+k_w)k \frac{h_c}{l_1}] = P - Q \cdot \delta \cdot mj_v. \quad (18)$$

## 7.3 Силы, аналитическое выражение которых зависит от расчетной схемы

7.3.1 Вертикальные нагрузки в сечениях оси, расположенных между плоскостями кругов катания колес. определяют при ускорении колесной пары, направленном вниз.

### 7.3.2 Расчетные схемы в соответствии с рисунками 1,2,3.

7.3.2.1 Вертикальная нагрузка от набегающего колеса, электродвигатель расположен на раме привода.

Транспортный прицепной режим в составе поезда

$$S_T = \frac{q}{2} (\delta [1+k_v-mj_v + 2(k_c+k_w)k \frac{h_c}{l_1} (1+2 \frac{l}{l_s})] + \frac{r}{l_s} [k_h + 2j_h(1-\delta)]) +$$

$$+G_r(1-\frac{\alpha_c}{\ell})^i(\frac{1}{2}-\frac{\alpha_3}{\ell_s})-G_rj_T(\frac{r_r}{\ell})^2(\frac{1}{2}-\frac{\alpha_3}{\ell_s})-G_pj_T[1-\frac{r_z(i+1)}{\ell}]^2x_{i+1} \\ -\zeta(\frac{1}{2}-\frac{\alpha_3}{\ell_s})-G_z(j_v-1)(1-\frac{\ell_z}{\ell_s})-\frac{G_o}{2}(j_v-1)-\frac{j_p j_T g(i+1)i}{\ell^2}(\frac{1}{2}-\frac{\alpha_3}{\ell_s}) \quad (19)$$

Примечание - Если в транспортном и прицепном режимах ротор тягового двигателя отключен и не вращается, то последнее слагаемое приводится нулю.

#### Транспортный самоходный режим

$$S_c = \frac{q_c}{2} (\delta [1+k_w-mj_v+2(k_c+k_w)k\frac{h_c}{\ell_1}(1+2\frac{\ell_c}{\ell_s})]+\frac{r}{\ell_s}[k_h+2j_h(1-\delta)])- \\ -\frac{j_p j_T g(i+1)i}{\ell^2}(\frac{1}{2}-\frac{\alpha_3}{\ell_s})+G_r(1-\frac{\alpha_r}{\ell})(\frac{1}{2}-\frac{\alpha_3}{\ell_s})-G_rj_T(\frac{r_r}{\ell})^2(\frac{1}{2}-\frac{\alpha_3}{\ell_s})- \\ -G_pj_T[1-\frac{r_z(i+1)}{\ell}]^2(\frac{1}{2}-\frac{\alpha_3}{\ell_s})-F_c\frac{r}{\ell}\cos\bar{\alpha}(\frac{1}{2}-\frac{\alpha_3}{\ell})-G_z(j_v-1)(1-\frac{\ell_z}{\ell_s})- \\ -\frac{G_o}{2}(j_v-1) \quad (20)$$

#### Рабочий самоходный режим

$$S_{pc} = \frac{q_{pc}}{2} (\delta [1+k_v-mj_v+2(k_c+k_w)k\frac{h_c}{\ell_1}(1+2\frac{\ell_c}{\ell_s})]+\frac{r}{\ell_s}[k_h+2j_h(1-\delta)])- \\ -F_{pc}\frac{r}{\ell}\cos\bar{\alpha}(\frac{1}{2}-\frac{\alpha_3}{\ell_s})+G_r(1-\frac{\alpha_r}{\ell})(\frac{1}{2}-\frac{\alpha_3}{\ell_s})-G_rj_T(\frac{r_r}{\ell})^2(\frac{1}{2}-\frac{\alpha_3}{\ell})- \\ -G_pj_T[1-\frac{r_z(i+1)}{\ell}]^2(\frac{1}{2}-\frac{\alpha_3}{\ell_s})-G_z(j_v-1)(1-\frac{\ell_z}{\ell_s})-\frac{G_o}{2}(j_v-1)- \\ -\frac{j_p j_T g(i+1)i}{\ell^2}(\frac{1}{2}-\frac{\alpha_3}{\ell_s}) \quad (21)$$

В рабочем прицепном режиме второе слагаемое формулы (21) равно нулю

$$F_p\frac{r}{\ell}\cos\bar{\alpha}(\frac{1}{2}-\frac{\alpha_3}{\ell_s})=0 \quad (22)$$

$\alpha_r, \alpha_3$  - размеры по рисунку 3.

7.3.2.2 Вертикальная нагрузка на ось от ведомой шестерни, Н:

- транспортный прицепной режим

$$Z_T = G_z(j_v-1); \quad (23)$$

- рабочий или транспортный режим движения самоходом

$$Z_{pc,c} = F_{pc,c}\frac{r}{r_z i}\cos\bar{\alpha} + G_z(j_v-1) + \frac{j_p j_T g(i+1)}{r_z \ell} \quad (24)$$

- рабочий прицепной режим

$$\tau_{pp} = G_z(j_v - 1), \quad (25)$$

где  $\bar{\alpha}$  - угол между направлением окружной силы и вертикалью.

7.3.2.3 Вертикальная нагрузка от опорно-осевого подшипника, прилегающего к ведомой шестерне.

Транспортный самоходный режим

$$T_c = F_c \frac{r}{r_z i} \cos \bar{\alpha} \left( \beta - \frac{r_z i}{\ell} \alpha \right) + G_r \left( 1 - \frac{\alpha_r}{\ell} \right) \alpha - G_r j_T \left( \frac{r_r}{\ell} \right)^2 \alpha - \\ - G_p j_T \alpha \left[ 1 - \frac{r_z (i+1)}{\ell} \right]^2 + \frac{J_p j_T g (i+1)}{r_z \cdot \ell} \left( \beta - \alpha \frac{r_z i}{\ell} \right) \quad (26)$$

В транспортном прицепном режиме первое и последнее слагаемое равны нулю.

Рабочий самоходный режим

$$T_{pc} = F_{pc} \frac{r}{r_z i} \cos \bar{\alpha} \left( \beta - \frac{r_z i}{\ell} \alpha \right) + G_r \left( 1 - \frac{\alpha_r}{\ell} \right) \alpha - G_r j_T \left( \frac{r_r}{\ell} \right)^2 \alpha - \\ - G_p j_T \alpha \left[ 1 - \frac{r_z (i+1)}{\ell} \right]^2 + \frac{J_p j_T g (i+1)}{r_z \cdot \ell} \left( \beta - \alpha \frac{r_z i}{\ell} \right) \quad (27)$$

Рабочий прицепной режим

$$T_{pp} = G_r \left( 1 - \frac{\alpha_r}{\ell} \right) \alpha \quad (28)$$

7.3.2.4 Вертикальная нагрузка от опорно-осевого подшипника, прилегающего к колесу машины.

Транспортный прицепной режим

$$T_{IT} = - G_r^s j_T \left( \frac{r_r}{\ell} \right)^2 (1 - \alpha) - G_p j_T \left[ 1 - \frac{r_z (i+1)}{\ell} \right]^2 (1 - \alpha) + G_r (1 - \alpha) \left( 1 - \frac{\alpha_r}{\ell} \right) \quad (29)$$

Рабочий и транспортный самоходный режим

$$T_{tp, pc} = F_{tp, pc} \frac{r}{\ell} \cos \bar{\alpha} \left[ \frac{\ell}{r_z i} (1 - \beta) - 1 + \alpha + \gamma \right] + \frac{J_p j_T g (i+1)}{\ell^2} \left[ \frac{\ell}{r_z} (1 - \beta) - \right. \\ \left. - i(1 - \alpha - \gamma) \right] - G_r^s j_T \frac{r_r}{\ell} \left[ 1 - \alpha + \left( 1 - \frac{r_r}{\ell} \right) (1 - \alpha - \gamma) \right] - G_p j_T \left[ 1 - \right. \\ \left. - \frac{r_z (i+1)}{\ell} \right] \left[ 1 - \alpha - \frac{r_z (i+1)}{\ell} (1 - \alpha - \gamma) \right] + G_r \left[ 1 - \alpha - \frac{\alpha_r}{\ell} (1 - \alpha - \gamma) \right] \quad (30)$$

В рабочем прицепном режиме первое и второе слагаемые равны нулю,

где

$\alpha$  - отношение размеров  $\frac{\alpha_1}{\alpha}$  (рисунок 3)

$\beta$  - отношение размеров  $\frac{\alpha_2}{\alpha}$  (рисунок 3)

$\gamma$  - отношение размеров  $\frac{a_3}{a}$  (рисунок 3)

$a_1, a_2$  - размеры в соответствии с рисунком 3

### 7.3.3 Расчетная схема в соответствии с рисунком 4

#### 7.3.3.1 Вертикальная нагрузка от набегающего колеса

##### Транспортный прицепной режим

$$S_T = \frac{q_T}{2} \{ \delta [(1+k_V-mj_V) + 2(k_C+k_W)k \frac{h_C}{l_1} (1+2\frac{l}{l_s})] + [2j_h(1-\delta)+k_h] \frac{r}{l_s} \} - \\ - G_r(j_T-1)(\frac{1}{2} + \frac{a_3}{l_s}) - \frac{G_o}{2}(j_V-1) - G_z(j_V-1)(1 - \frac{l_z}{l_s}). \quad (31)$$

##### Рабочий самоходный режим

$$S_{pc} = \frac{q_{pc}}{2} \{ \delta [(1+k_V-mj_V) + 2(k_C+k_W)k \frac{h_C}{l_1} (1+2\frac{l}{l_s})] + [2j_h(1-\delta)+k_h] \frac{r}{l_s} \} - \\ - G_r(j_T-1)(\frac{1}{2} + \frac{a_3}{l_s}) - \frac{G_o}{2}(j_V-1)(1 - \frac{l_r}{l_s}) - F_{pc} \frac{r}{r_z i} (1 - \frac{l_r}{l_s}), \quad (32)$$

##### Транспортный самоходный режим

$$S_c = \frac{q_c}{2} \{ \delta [(1+k_V-mj_V) + 2(k_C+k_W)k \frac{h_C}{l_1} (1+2\frac{l}{l_s})] + [2j_h(1-\delta)+k_h] \frac{r}{l_s} \} - \\ - G_r(j_T-1)(\frac{1}{2} + \frac{a_3}{l_s}) - \frac{G_o}{2}(j_V-1) - G_z(j_V-1)(1 - \frac{l_z}{l_s}) - F_c \cdot \frac{r}{r_z i} (1 - \frac{l_z}{l_s}), \quad (33)$$

#### 7.3.3.2 Вертикальная нагрузка на ось от сбегающего колеса

##### Транспортный прицепной режим

$$S_{iT} = \frac{q_T}{2} \{ \delta [(1+k_V-mj_V) - 2(k_C+k_W)k \frac{h_C}{l_1} (1+2\frac{l}{l_s})] + [2j_h(1-\delta)+k_h] \frac{r}{l_s} \} - \\ - G_r(j_T-1)(\frac{1}{2} - \frac{a_3}{l_s}) - G_z(j_V-1) \frac{l_z}{l_s} - \frac{G_o}{2}(j_V-1). \quad (34)$$

##### Рабочий самоходный режим

$$S_{ipc} = \frac{q_{pc}}{2} \{ \delta [(1+k_V-mj_V) - 2(k_C+k_W)k \frac{h_C}{l_1} (1+2\frac{l}{l_s})] + [2j_h(1-\delta)+k_h] \frac{r}{l_s} \} - \\ - G_r(j_T-1)(\frac{1}{2} - \frac{a_3}{l_s}) - G_z(j_V-1) \frac{l_z}{l_s} - \frac{G_o}{2}(j_V-1) - F_{pc} \frac{r}{r_z i} \cdot \frac{l_z}{l_s} \quad (35)$$

## Транспортный самоходный режим

$$S_{tc} = \frac{q_c}{2} \left[ \delta \left[ (1+k_v - m j_v) - 2(k_c + k_w) k \frac{h_c}{\ell_1} (1+2 \frac{\ell}{\ell_s}) \right] + [2 j_h (1-\delta) + k_h] \frac{r}{\ell_s} \right] - \\ - G_r (j_T - 1) \left( \frac{1}{2} - \frac{a_3}{\ell_s} \right) - G_z (j_v - 1) \frac{\ell_z}{\ell_s} - \frac{G_o}{2} (j_v - 1) - F_c \cdot \frac{r}{r_z i} \cdot \frac{\ell_z}{\ell_s} \quad (36)$$

7.3.3.3 Вертикальная нагрузка на ось от ведомой шестерни.

Транспортный режим – по формуле (23).

Рабочий и транспортный режим движения самоходом:

- когда окружное усилие направлено вертикально

$$Z_{pc,c} = F_{pc,c} \frac{r}{r_z i} + G_z (j_v - 1); \quad (37)$$

- когда окружное усилие направлено под некоторым углом  $\bar{\alpha}$  к вертикалам

$$Z_{pc,c} = F_{pc,c} \frac{r}{r_z i} \cos \bar{\alpha} + G_z (j_v - 1). \quad (38)$$

7.3.3.4 Вертикальная нагрузка на ось от опорно-осевого подшипника, прилегающего к ведомой шестерне.

Транспортный прицепной режим

$$T_T = -G_r (j_T - 1) (\alpha + \gamma) \quad (\text{рисунок 4}) \text{ или} \quad (39)$$

$$T_T = G_w (j_T - 1) \left( \frac{1}{2} - \frac{a_4}{2\ell} - \frac{a_3 \cdot a_4}{a \cdot \ell} \right) \quad (\text{рисунок 4}) \quad (40)$$

Рабочий и транспортный самоходный режим:

- когда окружное усилие вертикально

$$T_{pc,c} = F_{pc,c} \frac{r}{r_z i} \rho - G_r (j_T - 1) (\alpha + \gamma) \quad (\text{рисунок 4}) \quad (41)$$

- когда окружное усилие направлено под углом  $\bar{\alpha}$  к вертикалам

$$T_{pc,c} = \frac{1}{2} F_{pc,c} \frac{r}{r_z i} \cos \bar{\alpha} + G_r (j_T - 1) \left( \frac{1}{2} - \frac{a_4}{2\ell} - \frac{a_3 \cdot a_4}{a \cdot \ell} \right) \quad (42)$$

7.3.4 Поддерживающая ось (рисунок 5)

Транспортный прицепной и самоходный режимы

$$S_{tc} = \frac{q_{tc}}{2} \left[ \delta \left[ (1+k_v - m j_v) - 2(k_c + k_w) k \frac{h_c}{\ell_1} (1+2 \frac{\ell}{\ell_s}) \right] + [2 j_h (1-\delta) + k_h] \frac{r}{\ell_s} \right] - \\ - \frac{G_o}{2} (j_v - 1). \quad (43)$$

# Рабочий прицепной и самоходный режимы

$$S_{Pn, Pc} = \frac{Q_{Pn}}{2} \left\{ \delta \left[ (1+k_v - m) j_v + 2(k_c + k_w) k \frac{h_c}{l_1} (1+2 \frac{l}{l_s}) \right] + k_h \frac{r}{l_s} \right\} \quad (44)$$

## 8 Расчет оси колесной пары при проектировании

### 8.1 Расчетный изгибающий момент в сечениях:

ОСТ 32.88-97

- буксовой шейки и предподступничной части оси

$$M_{A,B} = P \cdot l_{A,B}; \quad (45)$$

- подступничной части оси

$$M_B = P \cdot l + Y' r; \quad (46)$$

- за движущим колесом (на рисунках 1,2 в сечении Г и на рисунке 4 в сечении Г.Д.)

$$M_G = P \cdot l_G + Y' r - S(l_G - l); \quad (47)$$

- под зубчатым колесом (на рисунках 1,2 в сечении Д и на рисунке 4 в сечении Г)

$$M_D = P \cdot l_D + Y' r - S(l_D - l) + T(l_D - l_T - l); \quad (48)$$

- средней части оси (на рисунках 1,2 в сечении Г и на рисунке 4 в сечении Г)

$$M_E = P \cdot l_E + Y' r - S(l_E - l) + T(l_E - l_T - l) - Z(l_E - l_Z - l). \quad (49)$$

$l_A, l_B, l, l_G, l_D, l_E$  - расстояния от силы Р (линии действия нагрузки от рессорного подвешивания) до соответствующего расчетного сечения, м.

Расчетные сечения А, Б, Г, Д, Е при определении изгибающих моментов берут не в начале соответствующих галтелей, где происходят разрушения при испытаниях, а в месте действия изгибающего момента, наибольшего для данного участка. Диаметр расчетного сечения условно принимают наименьшим для данного участка. Расчетное сечение В совпадает с плоскостью круга катания.

### 8.2 Допускаемые коэффициенты запаса сопротивлению усталости

Коэффициенты запаса прочности, вычисляемые по формулам (55), (56) должны удовлетворять условиям

$$n_N \geq [n]. \quad (50)$$

[n] - минимально допустимые коэффициенты запаса сопротивлению усталости в расчетных сечениях

$$\{n_A, n_B\} \geq 1.5; \quad (51)$$

$$\{n_B, n_G, n_D, n_E\} \geq 1.3; \quad (52)$$

Допускается принимать

$$\{n_B, n_G, n_D, n_E\} \geq 1.2, \text{ если} \quad (53)$$

- известен спектр эксплуатационной нагруженности оси при испытаниях путевой машины в расчетных режимах на путях МПС большой протяженности с участками различного технического состояния и конструкции, включающими кривые, стрелки, прямые;

- технологический процесс изготовления осей стабилен;
- усталостные характеристики оси в расчетном сечении получены при испытаниях натурных образцов осей.

Коэффициенты запаса прочности определяют по максимальным замеренным при испытаниях амплитудам напряжений.

Если условия (50) – (53) не удовлетворяются, то должны быть применены конструкторские или технологические способы повышения прочности оси или приняты меры по улучшению вертикальной и горизонтальной амортизации с целью уменьшения коэффициентов динамики.

### 8.3 Определение диаметра оси вновь проектируемой путевой машины

Диаметры оси в расчетных сечениях вновь проектируемых путевых машин (соответственно и осей) определяют по формуле:

$$d_N \geq \frac{3}{\pi} \cdot \frac{32 \cdot M_N [n_N]}{\sigma_{-1,N}} + \Delta_N, \quad (54)$$

Фактический диаметр оси в расчетном сечении принимают равным

или большим полученному расчетом по формуле (54). На опытном образце путевой машины проводят контрольные динамико-прочностные ходовые испытания и определяют фактические коэффициенты запаса сопротивлению усталости на основании замеренных напряжений.

### 8.4 Рекомендации по разработке конструкции заходной части оси

Правильно выбранная конструкция заходной части оси (ступицы) позволяет значительно снизить величину и градиент контактного давления в этой зоне, которое в несколько раз превышает номинальный уровень. Это мероприятие благоприятно скажется на характере протекания процесса запрессовки из-за уменьшения вероятности появления задиров и фrettинг-коррозии, которая способствует образованию трещин и снижению предела выносливости оси.

С целью снижения контактного давления в краевой зоне сопряжения колесо-ось заходную часть оси рекомендуется выполнять радиусной вместо заходного конуса. Величина радиуса определяется зависимостью

$$r = (1 \pm 0.06)d_n, \quad (55)$$

где  $d_n$  – посадочный диаметр.

Это конструкторско-технологическое решение увеличивает длину контакта, снижает до минимума контактное давление в заходной части, обеспечивает плавное повышение монтажного натяга, отсутствие задиров и фреттинг-коррозии, увеличивает срок службы оси.

## 9 Проверочный (уточненный) расчет оси 9СТ 32,88-97

### 9.1 Коэффициенты запаса сопротивлению усталости в различных сечениях оси

При оценке прочности оси по результатам динамико-прочностных испытаний или при уточненном расчете вновь спроектированной оси коэффициенты запаса прочности по сопротивлению усталости в детерминированной постановке определяют по формулам:

- для сплошной оси

$$n_N = \frac{\delta \cdot (d_N - \Delta_N)^3 \cdot (\bar{b}_{-1})_N}{32 \cdot M_N} \geq [n_N]; \quad (56)$$

- для полой оси

$$n_N = \frac{\delta \cdot (d_N - \Delta_N)^3 \cdot [1 - (\frac{d_o}{d_N})^4] \cdot (\bar{b}_{-1})_N}{32 \cdot M_N} \geq [n_N]; \quad (57)$$

где  $M_N$  – изгибающий момент в расчетном сечении;

$(\bar{b}_{-1})_N$  – предел выносливости оси в сечении N, (раздел 6);

$\Delta_N$  – уменьшение диаметра оси в расчетном сечении, допускаемое при ремонте колесных пар.

$d_o$  – диаметр внутренней полости оси в расчетном сечении

### 9.3 Оценка вероятности разрушения

Расчеты оси в вероятностном аспекте выполняют с использованием требуемых характеристик материалов и НДС конструкции, а также законов их распределения, получаемых по результатам стендовых и эксплуатационных испытаний. Порядок таких расчетов изложен в [1].

При отсутствии экспериментальных данных следует иметь ввиду, что на эксплуатируемых конструкциях осей-аналогов распределение мгновенных значений напряжений подчиняется, как правило, нормальному закону. Установлено, что пределы выносливости для натурных осей также имеют нормальное распределение. Поэтому вероятность безотказной работы за назначенный срок службы –  $T_p$  может быть определена по формуле:

$$P(T_p) = 0,5 + \Phi \left[ \frac{\tilde{n} - 1}{\sqrt{\tilde{n}^2 \nu_{\sigma_{-1,p}}^2 + \nu_{\sigma_a}^2}} \right], \quad (58)$$

где  $\tilde{n}$  – относительный коэффициент запаса  $\tilde{n} = \frac{n_p}{n_n}$  (59)

$\pi_p$  – предельный коэффициент нагруженности определяется по номограмме (рисунок 13).

$$\pi_p = f(k \frac{N_{\Sigma}}{N_0}; \dots) \quad (60)$$

$N_{\Sigma}$  – общее число циклов нагружения колеса за установленный срок службы  $T_p$  (год).

$$N_{\Sigma} = \frac{T_p \cdot L_i \cdot 365}{5 \cdot \vartheta} \quad (61)$$

$L_i$  – среднесуточный пробег путевой машины;

$N_0$  – база испытаний (принимается от  $50 \cdot 10^6$  до  $100 \cdot 10^6$ );

$k$  – параметр, характеризующий интенсивность снижения  $\bar{\sigma}_{-1}$ .

Для малоуглеродистой стали  $k = 1,33$ ; для среднеуглеродистой стали  $k = 1,65$ , для легированной стали  $k = 1,8$ :

$\pi_n$  – предельный коэффициент нагруженности по средним, определяется по формуле

$$\pi_n = \frac{\bar{\sigma}_a (1 + \Upsilon_{\max} \Upsilon_{\sigma_a})}{\bar{\sigma}_{-1,0}} \quad (62)$$

где  $\bar{\sigma}_a$  – математическое ожидание амплитуд динамических напряжений;

$\Upsilon_{\max}$  – квантиль.  $\Upsilon_{\max}$  принимают от 5 до 5,5.

Для ориентировочных расчетов осей из осевых сталей можно принять:

$\bar{\sigma}_{-1,0}$  – по данным таблицы 2;

$\Upsilon_{\sigma_{-1,0}} = 0,04$ :

$\Upsilon_{\sigma_a}$  принимают от 0,1 до 0,15.

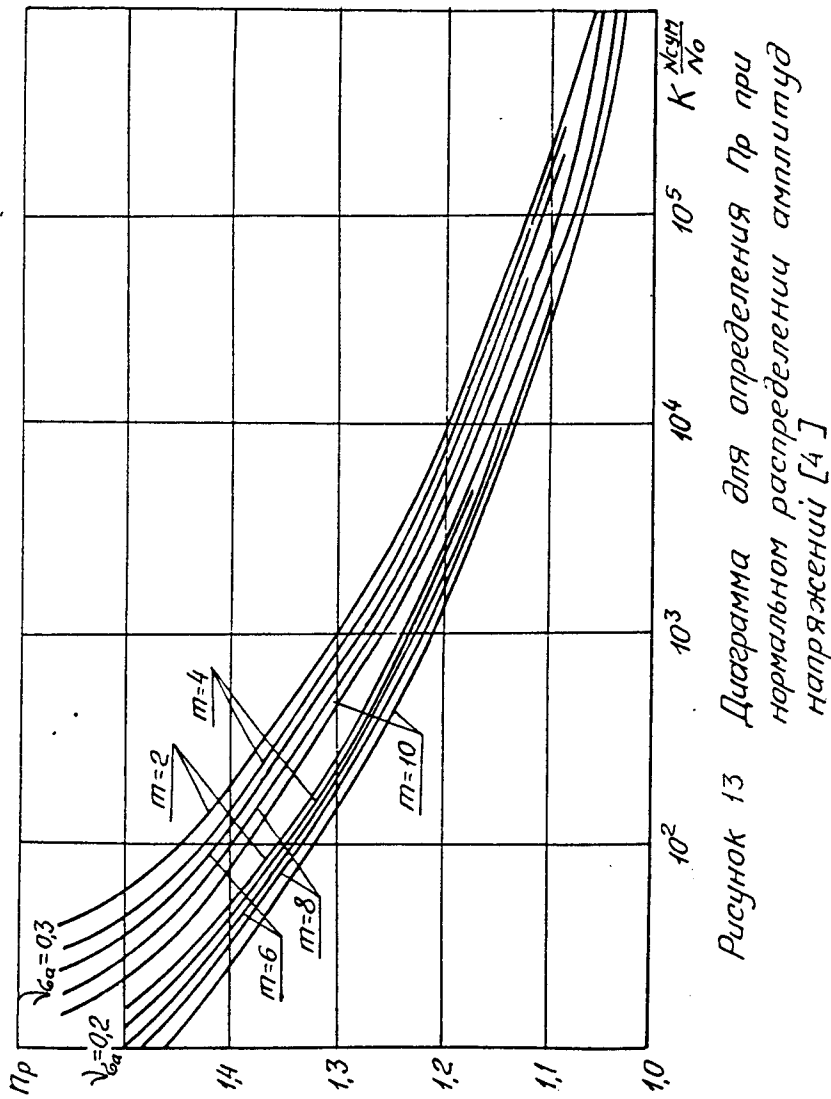


Рисунок 13 Диаграмма для определения при при нормальном распределении амплитуд напряжений [4]

Приложение А  
(справочное)

**Режимы накатки опытных осей колесных пар**

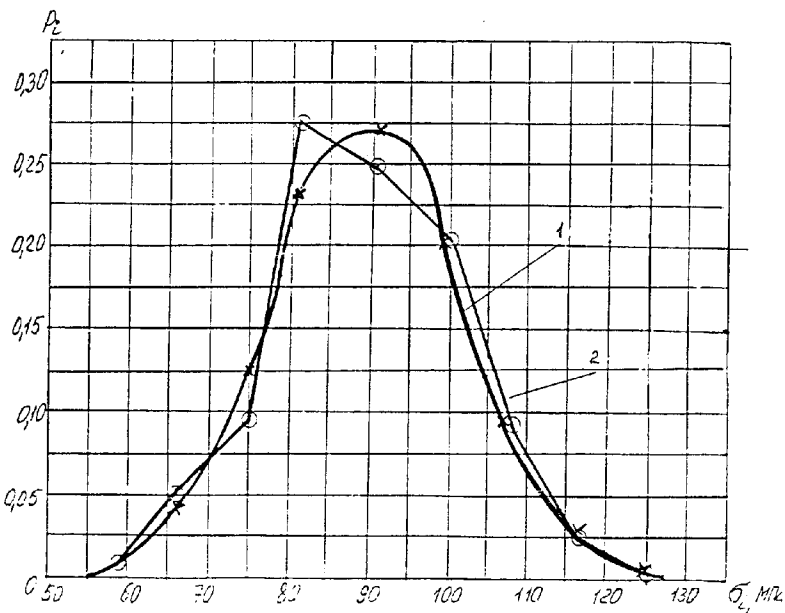
Накатку осей колесных пар путевых машин производят согласно ГОСТ 3281 и по инструкции, согласованной с МПС [2].

В таблице А.1 указаны режимы накатки, примененные при упрочнении опытных осей. Эти режимы соответствуют требованиям МПС.

Таблица А.1

Параметры и характеристики режимов накатки	Зона оси колесной пары			
	Буксовая шейка	Средняя часть оси	Галтельная зона	Подступичная часть
Диаметр опытного образца, м	0,150	0,180– –0,200	–	0,184–0,235
Профильный радиус ролика, м	0,020	0,008	0,005	0,008
Давление на ролик, Н	29400	19600	Осуществлялось ручной подачей суппорта токарного станка	14700
Припуск на окончательную механическую обработку, м	$0,5 \cdot 10^{-3}$	$0,5 \cdot 10^{-3}$	$0,5 \cdot 10^{-3}$	$(0,5–0,6) \times 10^{-3}$
Глубина упрочненного слоя, м	$(6–7) \cdot 10^{-3}$	$(4,5–5) \times 10^{-3}$	$3 \cdot 10^{-3}$	$(6–7) \cdot 10^{-3}$
Увеличение твердости поверхности, %	30–35	25	20	25

Гистограмма амплитуд напряжений в средней части оси колесной пары машины ДМГ-001 при движении на прямом участке пути со скоростью 86 км/ч



1 - аппроксимация распределений нормальным законом  
2 - фактические распределения в средней части оси

Рисунок Б.1

Приложение В  
(справочное)

Пример поверочного расчета оси колесной пары в транспортном и рабочем режимах при применении в приводе тягового электродвигателя

### В.1 Характеристика путевой машины

Тип путевой машины – моторная платформа МПД-2, работающая в составе путекладочных поездов и предназначенная для транспортировки шпальных пакетов к крану.

Ширина колеи – 1520 мм.

Нагрузка от оси колесной пары на рельсы –  $Q_t = 98000 \text{ Н}$ ;  
 $Q_p = 254800 \text{ Н}$ .

Конструкционная скорость –  $V_k = 110 \text{ км/ч}$ .

Максимальные скорости движения:

- в рабочем режиме –  $V_p = 5 \text{ км/ч}$ ;

- в режиме движения самоходом –  $V_c = 30 \text{ км/ч}$ .

Диаметр движущего колеса  $D = 0,950 \text{ м}$ .

Длительная сила тяги в рабочем режиме –  $F_p = 3057,6 \text{ Н}$ .

### 2.В Конструкционные данные

Характеристика конструкции, размеры и массы элементов колесной пары приведены в таблице В.1 и на рисунке 1.

Таблица В.1

Наименование	Обозначение	Значение
диаметр расчетного сечения оси колесной пары, м:		
по буксовой шейке	$d_A$	0,1300
предподступничной части	$d_B$	0,1650
подступничной части	$d_B$	0,1950
шейки под опорно-осевой подшипник	$d_C$	0,1700
под зубчатым колесом	$d_D$	0,1700
в средней части оси	$d_E$	0,1650

## Продолжение таблицы В.1

Наименование	Обозначение	Значение
Расстояние от Р до расчетного сечения А, м	$l_A$	0,088
Расстояние от Р до расчетного сечения Б, м	$l_B$	0,164
Расстояние от Р до круга катания, м	$l$	0,228
Расстояние от Р до расчетного сечения Г, м	$l_G$	0,429
Расстояние от Р до расчетного сечения Д, м	$l_D$	0,706
Расстояние от Р до расчетного сечения Е, м	$l_E$	1,018
Расстояние от оси колесной пары до оси подвешивания двигателя к раме тележки, м	L	0,60
Расстояние между плоскостями кругов катания колес колесной пары, м	$l_s$	1,58
Расстояние от плоскости круга катания набегающего колеса до центра тяжести механизма передвижения, м	$l_r$	0,718
Расстояние от плоскости круга катания набегающего колеса до силы Z, м	$l_z$	0,478
Расстояние от плоскости круга катания набегающего колеса до силы T, м	$l_T$	0,278
Расстояние между силами T и $T_1$ , м	a	0,977
Расстояние от середины тележки до силы $T_1$ , м	$a_1$	0,465

## Окончание таблицы В.1

Наименование	Обозначение	Значение
Расстояние между силами $T_1$ , $Z$	$a_2$	$0,277$
Отношение статической осадки рессорного подвешивания к расстоянию между серединами буксовых шеек, $\lambda$	$F_s/l_1$	$0,0309$
Отношение высоты расположения центра тяжести надрессорного строения под центральными колесами к расстоянию между серединами буксовых шеек	$hs/l_1$	$0,7$
Вес оси колесной пары, Н	$G$	$4116$
Вес части оси, заключенной между плоскостями кругов катания колес, Н	$G_0$	$3194$
Вес колеса, Н	$G_w$	$3783$
Вес электродвигателя с рамой, Н	$G_r$	$2842$
Вес тягового зубчатого колеса, Н	$G_z$	$1240$
Вес буксового узла и жестко связанных с ним частей, Н	$P_o$	$1160$
Вес механизма передвижения, приходящийся на ось, Н	$G_r^*$	$2850$
Пределы выносливости в сечениях оси, Па, принятые по рекомендациям раздела 6:		
буксовой шейки (А)	$(\sigma_{-1})_A$	$145 \cdot 10^6$
в предподступичной части (Б)	$(\sigma_{-1})_B$	$145 \cdot 10^6$
в подступичной части (В)	$(\sigma_{-1})_B$	$140 \cdot 10^6$
шейки под опорно-осевой подшипник (Г)	$(\sigma_{-1})_G$	$157 \cdot 10^6$
в средней части оси (Е)	$(\sigma_{-1})_E$	$157 \cdot 10^6$
В сечении под зубчатым колесом с учетом ослабления сечения японочным пазом, выполненным дисковой фрезой после накатки оси, Па		
$(\sigma_{-1})_D = \frac{\sigma_{-1} \beta \cdot \sigma_{\sigma} \cdot k}{K_b} = \frac{235 \cdot 10^6 \cdot 0,9 \cdot 0,64 \cdot 1,2}{1,46} = 112 \cdot 10^6$ Па	$(\sigma_{-1})_D$	$112 \cdot 10^6$

### В.3 Расчет оси колесной пары

Для удобства анализа данных расчет сведен в таблицы В.2, В.3, В.4  
 Таблица В.2 – Определение параметров и коэффициентов, входящих в расчет

Наименование и определение	Обозначение	Значения в режимах	
		транспортном	рабочем
Вес необressоренных элементов экипажной части, приходящихся на колесную пару, Н 4116+2·3783+2·1160+2850	$G + 2G_w + 2P_o + G_z + G_r *$	16850	16850
Коэффициент вертикальной амортизации	$\delta$	0,8175	0,962
Коэффициент необressоренных весов	$1 - \delta$	0,8125	0,038
Коэффициент веса буксового узла	$\beta$	0,0284	0,0076
Коэффициент рамного давления	$K_h$	0,3	0,2
Коэффициент вертикальной динамики	$K_v$	0,3	0,2
Коэффициент поперечного горизонтального ускорения колесной пары	$j_h$	0,645	0,484
Коэффициент вертикального ускорения колесной пары	$j_v$	4,17	2,126
Коэффициент вертикального ускорения механизма передвижения	$j_t$	2,085	1,063
Коэффициент трения колес о рельсы	$f$	0,25	0,25
Коэффициент центробежной силы	$K_c$	0,05	0,05
Коэффициент ветровой нагрузки	$K_w$	0,05	0,05
Поправочный коэффициент, учитывающий перегруз рессорного подвешивания от крена надресорного строения	$K$	1,094	1,094

Таблица В.3 – Определение расчетных нагрузок

Наименование нагрузок	Обозначение	Расчетная величина	
		в транспорт-ном режиме	в рабочем режиме
Боковое давление на набегающее колесо, Н	у'	38483	42123
Вертикальная нагрузка на буксовую шейку оси со стороны набегающего колеса при ускорении колесной пары, направленном вверх, Н	Р	62630	189806
Те же при ускорении колесной пары, направленном вверх, Н	Р'	53802	185305
Вертикальная нагрузка на ось в плоскости круга катания набегающего колеса, Н	с	89804	217085
Вертикальная нагрузка на ось в плоскости круга катания сбегающего колеса, Н	с <sub>1</sub>	54880	139277
Вертикальная нагрузка на ось от ведомой шестерни, Н	z	6410	4943
Вертикальная нагрузка от опорно-осевого подшипника, прилегающего к ведомой шестерне, Н	т	4819	13232
Вертикальная нагрузка от опорно-осевого подшипника, прилегающего к колесу, Н	т <sub>1</sub>	3949	2813

Таблица В.4 – Расчетные изгибающие моменты и коэффициенты запаса усталостной прочности

Порядковый номер сечения и рассчитываемая часть оси	Изгибающий момент, Н.м		Коэффициент запаса усталостн.прочности	
	в транс-портном режиме	в рабочем режиме	в транс-портном режиме	в рабочем режиме
А. буксовая шейка	5511	16703	5,67	1,87
Б. предподступничная	10271	31128	6,22	2,054
В. подступничная	32559	76584	3,13	1,33
Г. моторно-осевая шейка	27097	71101	2,78	1,063
Д. посадка зубчатого колеса	30126	66191	1,8	0,82
Е. средняя часть	28318	64316	2,44	1,024

#### B.4 Расчет оси в вероятностном аспекте

Определим вероятность безотказной работы  $P_f$  (она связана с вероятностью разрушения  $P_r$ , зависимостью  $P_f = 1 - P_r$ ) как для случая с отсутствием представительных экспериментальных данных по нагруженности

Исходные данные для расчета (по 4.2–4.4):

$$L_{\text{сумм.}} = 80000 + 500000 + 3000 = 583000 \text{ км}$$

$$N_{\text{сумм.}} = \frac{L_{\text{сумм.}}}{57 \cdot 0} \\ \alpha' = 1$$

$$N_{\text{сумм.}} = \frac{583000000}{3,14 \cdot 0,95} = \frac{583000000}{2,983} = 195,44 \cdot 10^6 \text{ (циклов)}$$

$N_0 = 50 \cdot 10^6$  циклов – базовое число циклов при испытаниях на усталость (условно принято одинаковым для всех сечений оси):

$k = 1,65$  – коэффициент интенсивности снижения предела выносливости вследствие нагрузок; принят по [4] как для среднеуглеродистой стали.

$$\text{Для } K \frac{\text{Нсумм}}{No} = 1.65 \cdot \frac{195.44 \cdot 10^6}{50 \cdot 10^6} = 6.435$$

$$\alpha = 10, \quad n_p = 1.45$$

$\sigma_p$  - находим по рисунку 13 при  $\beta_{AD} = 0.04$ ,  $\beta_{\sigma_i} = 0.1$  и  $\alpha = 10$ ,  $U_{max} = 5$

Расчеты выполнены по формулам:

- для регулярного нагружения -

$$P_d = 0.5 + \Phi \left[ \sqrt{n^2 \beta_{AD}^2 + \beta_{\sigma_i}^2} \right],$$

- для нерегулярного нагружения -

$$P_d = 0.5 + \Phi \left[ \sqrt{\tilde{n}^2 \beta_{AD}^2 + \beta_{\sigma_i}^2} \right].$$

$$\text{где } \Phi(x) = \frac{1}{2\pi} \int_{-\infty}^x e^{-t^2/2} dt \quad [4]$$

Результаты расчета представлены в таблице В.5

Таблица В.5

Вариант расчета	Расчетный параметр	Сечение оси			
		A	B	C	D
Регулярное нагружение	n	2.67	6.22	3.13	2.44
	$\sqrt{n^2 \beta_{AD}^2 + \beta_{\sigma_i}^2}$ при $\beta_{\sigma_i} = 0.1$	0.24738	0.26814	0.16023	0.13973
	$n = 1$				
Нерегулярное нагружение	$\sqrt{\tilde{n}^2 \beta_{AD}^2 + \beta_{\sigma_i}^2}$ при $\beta_{\sigma_i} = 0.1$	18.88	19.47	13.29	10.30
	$P_d$ при $\beta_{\sigma_i} = 0.1$	1.0	1.0	1.0	1.0
	$\tilde{n} = \frac{1+U_{max} \cdot \beta_{\sigma_i}}{n}$ при $\beta_{\sigma_i} = 0.1$	0.26455	0.24116	0.47923	0.61475
	$\tilde{n} = \frac{\sigma_p}{n}$ при $\beta_{\sigma_i} = 0.1$	5.481	6.013	3.025	2.358
	$\sqrt{\tilde{n}^2 \beta_{AD}^2 + \beta_{\sigma_i}^2}$ при $\beta_{\sigma_i} = 0.1$	0.24097	0.26048	0.15697	0.13746
	$n = 1$				
	$\sqrt{\tilde{n}^2 \beta_{AD}^2 + \beta_{\sigma_i}^2}$ при $\beta_{\sigma_i} = 0.1$	19.38	20.04	13.569	10.476
	$P_d$ при $\beta_{\sigma_i} = 0.1$	1.0	1.0	1.0	1.0

Расчет на усталостную прочность показал, что в транспортном режиме коэффициенты запаса усталостной прочности выше допускаемых, что подтверждает и расчет в вероятностном аспекте. В рабочем режиме в сечении под зубчатым колесом, ослабленном шпоночным соединением, этот коэффициент ниже допустимого значения и меньше единицы, т.е. прочность оси недостаточна. Рекомендуется с целью повышения усталостной прочности оси шпоночное соединение исключить.

Приложение Г  
«справочное»

Библиография

- [1] В.П.Когаев "Расчеты на прочность при напряжениях переменных во времени". Москва, "Машиностроение", 1993 г.
- [2] Технические условия ТИ 32 ЦВ-ВНИИЖТ-81
- [3] Л.Н.Большев, Н.В.Смирнов "Таблица математической статистики" Москва, Наука, 1983г.
- [4] С.В.Серенсен "Несущая способность и расчет деталей машин на прочность". Москва, "Машиностроение", 1975 г.

---

УДК 625.2.012.3(047.1)

ОКСТУ

Ключевые слова: стандарт, методика, оси колесных пар, путевые  
машины, сопротивление усталости, расчет на прочность

---

Научно-исследовательский институт тепловозов и путевых машин (ВНИТИ) МПС РФ

Зам.директора института, к.т.н.

В.И.Несторов

Отдел стандартизации, сертификации и комплексных нормативно-технических исследований

Зав.отделом, к.т.н.

А.А.Рыболов

И.о.зав.сектором

А.Г.Лунин

Инженер-конструктор  
1 кат.

Н.А.Ершова

Отдел прочности

Зав.отделом, к.т.н.

Э.С.Оганян

Зав.лабораторией, к.т.н.

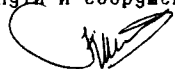
З.Н.Никольская

Ведущий инженер

Т.И.Арсенькина

СОГЛАСОВАНО

Зам. начальника Департамента  
пути и сооружений



А.М.Каменский

"3" 06 1997г.



# МИНИСТЕРСТВО ПУТЕЙ СООБЩЕНИЯ РОССИЙСКОЙ ФЕДЕРАЦИИ

г. Москва, 107174, Н.-Басманская, 2.

01. сен. 97 г. 1997 г.

№ Р-1057

## У К А З А Н И Е

Об утверждении и введении  
в действие ОСТ 32.88-97

Начальникам департаментов и  
управлений МПС (по списку)

Руководителям предприятий  
и организаций МПС (по списку)

С целью проведения единой технической политики при создании и  
эксплуатации специального подвижного состава, Министерство путей  
сообщения РФ

### ПРИКАЗЫВАЕТ:

Утвердить и ввести в действие с 01.09.1997 года стандарт от-  
расли ОСТ 32.88-97 "Машины путевые. Оси колесных пар. Методика рас-  
чета на прочность"

Приложение: ОСТ 32.88-97 на 48 л.

Первый Заместитель Министра

И.С.Беседин

